

합성형 반강자성층을 갖는 MTJ의 자기저항의

하부 전극층 표면거칠기 의존성

숙명여대 황재연*, 김순섭, 김미양, 이장로

삼성종합기술연구원 김태완, 박완준

고려대학교 전병선, 김영근

상지대 이상석, 황도근

Dependence of surface roughness of the bottom electrode on magnetoresistance in MTJ with synthetic antiferromagnetic pinned layer

Sookmyung Women's Univ. J. Y. Hwang*, S. S. Kim, M. Y. Kim, and J. R. Rhee

Samsung Advanced Institute of Technology Taewan Kim, Wanjun Park

Korea Univ. Byong Sun Chun, Young Keun Kim

Sangji Univ. S. S. Lee and D. G. Hwang

I. 서론

터널자기저항(tunneling magnetoresistance: TMR)을 이용한 자기터널링접합(magnetic tunneling junction: MTJ) 소자는 그 자체가 높은 TMR비를 갖고 있어서 고밀도 자기 재생헤드(read head)와 비휘발성 자기메모리(magnetic random access memory: MRAM)로서의 응용가능성과 그 우수한 특성 때문에 많은 연구가 진행되고 있다 [1, 2].

본 연구에서는 속박층(pinning layer)에 반강자성체 $\text{Ir}_{22}\text{Mn}_{78}$ 과 피속박자성층(pinned layer)에 합성형 반강자성(synthetic antiferromagnetic: SAF) CoFe/Ru/CoFe를 사용하여 하부 전극층의 표면거칠기를 달리하면서 $\text{SiO}_2/\text{Ta}/\text{Ru}/\text{IrMn}/\text{CoFe}/\text{Ru}/\text{CoFe}/\text{Al-O}/\text{CoFe}/\text{NiFe}/\text{Ru}$ 형태의 스판밸브(spin valve: SV)형 터널링접합을 스퍼터링과 리소그래피 방법으로 제작하고 이 접합의 절연층 장벽 형성을 통한 TMR비의 저항X 단면적(RA)의 플라즈마 산화시간, RA의 절연막 두께 의존성을 조사하여 극대화 제작 조건을 구하고 하부층 전극의 표면거칠기에 따라 달라지는 MTJ의 터널장벽층의 표면거칠기 의존성 특성, 이들 접합 소자의 I-V 곡선의 비선형적 거동을 통한 MTJ의 터널링 특성 등을 조사하였다.

II. 실험방법

피속박층으로 합성형 반강자성구조를 사용하여 SiO_2 가 coating된 Si(100) 기판 위에 증착율 $0.5\sim1.0 \text{ \AA/s}$ 로 하여 $\text{SiO}_2/\text{Ta}/\text{Ru}/\text{IrMn}/\text{CoFe}/\text{Ru}/\text{CoFe}/\text{Al-O}/\text{CoFe}/\text{NiFe}/\text{Ru}$ 구조를 갖는 자기터널접합 소자를 photolithography로 제작하였다. TMR 소자를 형성할 기판은 누설 전류를 차단하기 위해 1000 \AA 의 열산화막이 형성된 직경 10 cm 의 P-형(100) Si wafer를 $1.5\times3.0 \text{ cm}^2$ 의 크기로 절단하고 표면의 유기물이나 이물질을 제거하기 위해 트리클로에틸렌(CHClCCl_2)에 담가 먼저 30분간 초음파 세척 후 계속하여 아세톤과 에탄올로 초음파 세척하여 사용하였다.

6개의 타겟이 장착된 메인 챔버와 load-lock 챔버를 갖는 마그네트론 rf 및 dc 스퍼터링 장치를 사용하여 초기진공도 $2.0\times10^{-3} \text{ Torr}$ 이하에서 Ar 부분압력 2 mTorr 로 하여 증착하였다. 합금타겟은 $\text{Ir}_{22}\text{Mn}_{78}$, $\text{Co}_{75}\text{Fe}_{25}$, $\text{Ni}_{80}\text{Fe}_{20}$ 을 사용하였으며 강자성층에 유도자기이방성을 형성하기 위하여 자기장 100 Oe 를 걸어주었다. 각 시료는 증착 후 진공도 $8.0\times10^{-7} \text{ Torr}$ 에서 속박층과 피속박층 사이에 교환결합자기장(exchange coupling field: H_{ex})을 유도하기 위하여 자기장 1 kOe 를 걸어주며 진공열처리하였다.

절연막을 형성하기 위해 메인 챔버에서 Al 금속을 13 \AA 증착 후 시료를 진공도 $1.2\times10^{-7} \text{ Torr}$ 이하의 load-lock 챔버로 옮겨 O_2 유량이 일정량 유지되게 조절하여 산화 시간과 산화 전력을 변화시켜가며 rf 플라즈마 산화법 [3, 4]으로 산화시켰다. Four-point probe를 사용하여 즉 외부자기장을 변화시키면서 하부자성층 단자의 한쪽과 상부자성층 단자의 한쪽을 연결하여 전류를 흐르게 한 후 나머지 2개의 단자에서 전압을 측정하는 방법으로 MR비와 기준저항을 측정하였다. 절연층 제작 시 플라즈마 산화시간을 달리하여 완성된 MTJ 소자의 수직단면을 TEM으로 관찰하였다.

III. 연구결과 및 고찰

Fig. 1(a)는 제작된 MTJ 중에서 장벽층이 거친 접합면적이 $10 \times 10 \mu\text{m}^2$ 인 MTJ에 대한 접합저항과 전류의 전압의존성을 나타낸 것이다. RA는 $2.2 \text{ k}\Omega\mu\text{m}^2$ 이며 100 mV일 때 MR비는 4%를 보여주며 I-V 곡선은 거의 선형적이다. 장벽층이 거칠고 균일하지 못한 경우 소자의 극대 MR비와 RA를 얻기가 어려움을 알 수 있다.

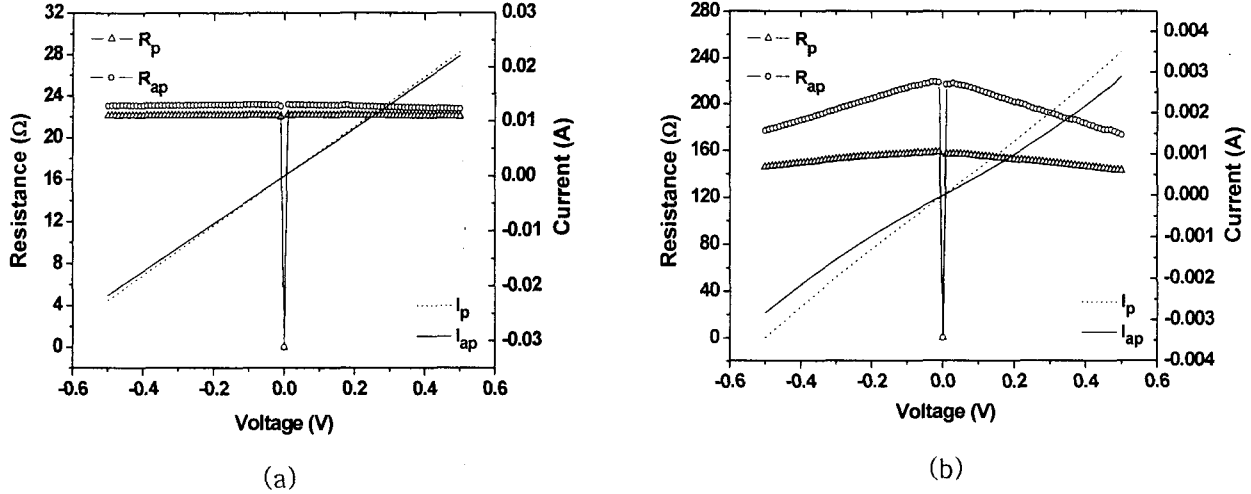


Fig. 1. Voltage dependence of current and resistance for MTJ with (a) rough tunnel barrier and (b) uniform tunnel barrier. I_p and I_{ap} show the current of MTJ when magnetization vectors among the pinned ferromagnetic/barrier/free ferromagnetic layer are parallel and antiparallel, respectively.

반면 Fig. 1(b)에서는 장벽층의 두께가 균일하여 균일한 터널장벽을 갖는 MTJ에서는 RA가 $14 \text{ k}\Omega\mu\text{m}^2$ 으로 bias전압 100mV에서 TMR비 40%를 보여준다. R_{ap} 가 R_p 보다 큰 값을 나타내는 것도 알 수 있다. 또 I-V 곡선에서도 비선형적 거동을 알 수 있다. I_p 가 I_{ap} 는 각각 자성층의 자화방향이 평행한 경우와 반평행한 경우에서의 전류를 나타낸다. 따라서 측정된 I-V 곡선을 사용하여 Simmon's fitting한 유효장벽의 폭과 유효장벽의 높이는 각각 11.8 \AA , 4.65 eV 와 14.5 \AA , 3.04 eV 임을 알 수 있다. 이 값들은 실제 터널장벽의 두께와 오차범위 내에 있음을 알 수 있다.

IV. 결론

1. MTJ의 TMR비와 저항×단면적(RA)의 절연층 장벽 제작 시의 플라즈마 산화시간 의존성 측정으로부터 약 8 \AA 의 Al층에 플라즈마 산화법으로 $10 \text{ k}\Omega$ 이하의 저항을 얻기 위하여 대략 10초의 산화시간이 필요하다.
2. 제작한 MTJ의 저항×단면적의 터널장벽 절연층 Al_2O_3 두께 의존성 측정으로부터 RA가 $10 \text{ k}\Omega\mu\text{m}^2$ 정도가 되기 위해서는 Al_2O_3 장벽층의 두께는 $12.5\sim14 \text{ \AA}$ 정도가 되었다.
3. 절연층 장벽 Al_2O_3 의 두께를 13 \AA 로 하여 제작한 극대화된 MTJ의 bias전압 100 mV에서 TMR 비 45%를 나타낸다.
4. 균일한 터널장벽을 가진 MTJ 일수록 MR비와 저항이 더 높아지고 반면에 층간결합장은 더 줄어드는 것을 알 수 있었다. 장벽층이 거칠고 균일하지 못한 MTJ는 I-V곡선이 선형적이었으며 반면 균일한 터널장벽을 갖는 MTJ는 I-V곡선의 비선형적 거동을 알 수 있었으며 Simmon's equation으로 fitting하여 구한 유효장벽의 폭과 장벽의 높이가 각각 14.4 \AA 와 3.07 eV 가 되어 실제 터널 장벽의 두께와 오차범위 내에 있음을 알 수 있었다.

참고문헌

- [1] L. S. Moodera, L. R. Kinder, T. M. Wang, and R. Meservey, Phys. Rev. Lett. **74**, 3273 (1995)
- [2] W. J. Gallagher, S. S. P. Parkin, Yu. Lu, X. P. Bian, Am Marley, K. P. Roche, R. A. Altman, S. A. Rishton, C. Jahrmes, T. M. Shaw and Gang Xiao, J. Appl. Phys. **81**, 3741 (1977).
- [3] J. S. Moodera, L. R. Kinder, J. Appl. Phys. **79**, 4724 (1996).
- [4] M. Sato, H. Kikuchi and K. Kobayashi, J. Appl. Phys. **83**, 6691 (1998).